

P11-2009-150

И. В. Амирханов, Д. З. Музафаров, Н. Р. Саркар,
И. Сархадов, З. А. Шарипов

ИССЛЕДОВАНИЕ РЕШЕНИЙ КРАЕВЫХ ЗАДАЧ
ДЛЯ ДИФФЕРЕНЦИАЛЬНОГО УРАВНЕНИЯ ВЫСОКОГО
ПОРЯДКА В ПОЛЕ КУЛОНОВСКОГО ПОТЕНЦИАЛА

Направлено в журнал «Вестник РУДН. Серия ”Математика. Информатика. Физика“»

<p>Амирханов И. В. и др. Исследование решений краевых задач для дифференциального уравнения высокого порядка в поле кулоновского потенциала</p>	<p>P11-2009-150</p>
<p>Предложен алгоритм нахождения собственных значений и собственных функций одной краевой задачи для уравнения высокого порядка (6-го, 8-го, 10-го и 12-го порядков) с произвольным параметром ε при старших производных в поле кулоновского потенциала. При $\varepsilon \rightarrow 0$ некоторые решения этих уравнений совпадают с решением уравнения Шрёдингера. Проведены исследования свойств собственных значений и собственных функций при различных значениях ε. Алгоритм реализован с использованием системы символьных вычислений MAPLE.</p> <p>Работа выполнена в Лаборатории информационных технологий ОИЯИ.</p>	

Препринт Объединенного института ядерных исследований. Дубна, 2009

<p>Amirkhanov I. V. et al. Investigation of Solutions of Boundary Problems for the Differential Equation of High Order in a Field of Coulomb Potential</p>	<p>P11-2009-150</p>
<p>An algorithm to find eigenvalues and eigenfunctions of one boundary problem for the equation of high order (6th, 8th, 10th and 12th orders) with an arbitrary parameter ε at higher derivatives in the Coulomb potential field is proposed. At $\varepsilon \rightarrow 0$, some solutions of these equations coincide with the solution of the Schrödinger equation. Investigations of the properties of eigenvalues and eigenfunctions with different values of ε have been conducted. The algorithm is implemented using the MAPLE system of symbolic calculations.</p> <p>The investigation has been performed at the Laboratory of Information Technologies, JINR.</p>	

Preprint of the Joint Institute for Nuclear Research. Dubna, 2009

ВВЕДЕНИЕ

Одной из актуальных задач теории элементарных частиц является построение модели для единообразного описания спектра и формфакторов взаимодействия легких и тяжелых мезонов, так называемых кваркониев, рассматриваемых как связанные состояния кварка и антикварка. Тяжелые кварконии в некотором приближении успешно описываются нерелятивистской квантовой механикой — решение уравнения Шрёдингера на собственные значения [1]. При описании легких мезонов возникает необходимость учета релятивистских эффектов.

Релятивистское обобщение потенциальной модели кваркония приводит к решению спектральной задачи для уравнения Бете–Солпитера и различных вариантов квазипотенциальных уравнений [2–6].

В данной работе так же, как и в предыдущих работах [7–14], мы рассматриваем квазипотенциальное уравнение [3, 4]. В частном случае для S -волны оно имеет вид

$$[E_\varepsilon - H_\varepsilon - V(r)] \psi(r) = 0, \quad (1)$$

где

$$E_\varepsilon = \frac{2}{\varepsilon^2} \left[\sqrt{1 + \varepsilon^2 q^2} - 1 \right] = \frac{2q^2}{\sqrt{1 + \varepsilon^2 q^2} + 1}, \quad H_\varepsilon = \frac{2}{\varepsilon^2} \left[\operatorname{ch} \left(i\varepsilon \frac{d}{dr} \right) - 1 \right],$$

$V(r)$ — кулоновский потенциал взаимодействия, ε — безразмерный параметр. При $\varepsilon \rightarrow 0$, $E_\varepsilon \rightarrow q^2$, $H_\varepsilon \rightarrow \frac{d^2}{dr^2}$, уравнение (1) переходит в нерелятивистское уравнение Шрёдингера

$$\left[\frac{d^2}{dr^2} - V(r) + q^2 \right] \psi(r) = 0. \quad (2)$$

В уравнении (1), разлагая оператор $\operatorname{ch} \left(i\varepsilon \frac{d}{dr} \right)$ в ряд, можно получить следующее дифференциальное уравнение бесконечного порядка [15]:

$$\left[E_\varepsilon + \left(\frac{d^2}{dr^2} - \frac{2\varepsilon^2}{4!} \frac{d^4}{dr^4} + \frac{2\varepsilon^4}{6!} \frac{d^6}{dr^6} - \dots \right) - V(r) \right] \psi(r) = 0. \quad (3)$$

Если в уравнении (3) отбросить члены высших порядков, то в результате мы получим обыкновенное дифференциальное уравнение конечного порядка

$$\left[E_\varepsilon + \left(\frac{d^2}{dr^2} - \frac{2\varepsilon^2}{4!} \frac{d^4}{dr^4} + \frac{2\varepsilon^4}{6!} \frac{d^6}{dr^6} - \dots + \right. \right. \\ \left. \left. + \frac{2(-1)^{m-1}}{(2m)!} \frac{\varepsilon^{2(m-1)}}{dr^{2m}} \right) - V(r) \right] \psi(r) = 0, \quad (4)$$

где $2m$ — порядок уравнений ($m = 1, 2 \dots M$).

Одной из важных особенностей уравнений (3), (4) является наличие параметра ε при старших производных, и при $\varepsilon \rightarrow 0$ — это есть сингулярно-возмущенные дифференциальные уравнения. При исследовании этих уравнений возникла необходимость исследования краевых задач. Особую актуальность приобретают методы поиска таких решений $\{\psi_n, \lambda_n\}$ (собственные функции и собственные значения), которые сохраняют свои свойства как для дифференциальных уравнений конечного порядка, так и для дифференциальных уравнений бесконечного порядка при условии возможности задания краевых условий и если решение поставленной задачи существует. Одна из особенностей краевых задач для дифференциальных уравнений высокого порядка $2m$ ($m = 1, 2 \dots M$) заключается в том, что необходимо накладывать $2m$ краевых условий на решения задачи. Так как эти условия, как правило, налагаются в двух точках (для уравнений (3), (4)) $r = 0$ и $r = r_0$ (или $r \rightarrow \infty$), то количество возможных краевых задач $\{\psi_n, \lambda_n\}_{2m}$ с увеличением порядка уравнения $2m$ сильно растет. Поэтому были исследованы краевые задачи, решения которых при $\varepsilon \rightarrow 0$ переходят в решение уравнения 2-го порядка (уравнения Шрёдингера), т. е.

$$\{\psi_n, \lambda_n\}_{2m} \xrightarrow{\varepsilon \rightarrow 0} \{\psi_n, \lambda_n\}_2$$

для любого фиксированного n .

Тогда разность собственных значений $\Delta = |\lambda_{n,2m} - \lambda_{n,2}|$ можно интерпретировать как поправки (релятивистские поправки) к решению уравнения Шрёдингера. Кроме того, важно исследовать поведение решений краевых задач $\{\psi_n, \lambda_n\}_{2m}$ при фиксированном значении ε , но при возрастании порядка уравнений $2m$.

Количество возможных краевых задач $\{\psi_n, \lambda_n\}_{2m}$ с увеличением порядка уравнения $2m$ сильно растет. Поэтому мы исследуем те краевые задачи, решения которых при $\varepsilon \rightarrow 0$ переходят в решение уравнения Шрёдингера и имеют четкий физический смысл. Однако имеются другие решения (так называемые погранслойные решения), которые требуют дальнейшего физического осмысливания (физические интерпретации этих решений).

Задача Коши для таких систем дифференциальных уравнений была рассмотрена в работах [16, 17]. Краевые задачи для сингулярно-воздушных уравнений являются предметом изучения широкого круга работ [18, 19].

ПОСТАНОВКА ЗАДАЧИ

В предыдущей работе [14] была подробно исследована краевая задача для дифференциального уравнения 4-го порядка ($m = 2$). В настоящей работе проводится исследование решений краевой задачи для дифференциального уравнения (4) при $m = 3, 4, 5, 6$:

$$\left[\frac{2(-1)^{m-1} \varepsilon^{2(m-1)}}{(2m)!} \frac{d^{2m}}{dr^{2m}} + \dots + \frac{2\varepsilon^4}{6!} \frac{d^6}{dr^6} - \right. \\ \left. - \frac{2\varepsilon^2}{4!} \frac{d^4}{dr^4} + \frac{d^2}{dr^2} - \alpha^2 + \frac{2Z}{r} \right] \psi(r) = 0 \quad (5)$$

со следующими граничными условиями:

$$\begin{aligned} \psi(0) &= 0, & \psi(r \rightarrow \infty) &= 0, \\ \psi'(0) &= 1, & \psi'(r \rightarrow \infty) &= 0, \\ &\cdots && \\ \psi^{2(m-1)}(r \rightarrow \infty) &= 0, \end{aligned} \quad (6)$$

где $\alpha^2 = -E_\varepsilon$ — собственное значение ($\alpha^2 > 0$).

АЛГОРИТМ РЕШЕНИЯ ЗАДАЧИ

Решение с n узлами ищем в виде

$$\psi(r) = r(1 - c_1r)(1 - c_2r)(1 - c_3r)\dots(1 - c_nr)\exp(-\kappa r), \quad (7)$$

где $\kappa, c_1, c_2, c_3\dots c_n$ — неизвестные постоянные.

Подставляя это выражение в уравнение (5) и приравнивая слагаемые при одинаковых степенях r , получаем уравнение для нахождения параметра κ :

$$\frac{(-1)^{m-1} \varepsilon^{2(m-1)}}{(2m-1)!} \kappa^{2m-1} + \dots + \frac{\varepsilon^4}{5!} \kappa^5 - \frac{\varepsilon^2}{3!} \kappa^3 + \kappa - \frac{Z}{(n+1)} = 0, \quad (8)$$

уравнение для нахождения собственных значений α^2 :

$$\frac{2(-1)^{m-1} \varepsilon^{2(m-1)}}{(2m)!} \kappa^{2m} + \dots + \frac{2\varepsilon^4}{6!} \kappa^6 - \frac{2\varepsilon^2}{4!} \kappa^4 + \kappa^2 - \alpha^2 = 0 \quad (9)$$

и систему n уравнений для нахождения c_i , $i = 1, 2, 3 \dots n$. Например, для нахождения одноузлового решения (т. е. $c_1, c_2 = 0, c_3 = 0 \dots c_n = 0$) имеем

$$c_1 = \frac{Z}{2 \left[(-1)^{m-1} \frac{\varepsilon^{2m-2} \kappa^{2m-2}}{(2m-2)!} + \dots + \frac{\varepsilon^4 \kappa^4}{4!} - \frac{\varepsilon^2 \kappa^2}{2!} + 1 \right]}. \quad (10)$$

При $n = 0$ — это безузловое решение, $n = 1$ — решение с одним узлом, $n = 2$ — решение с двумя узлами и т. д.

Таким образом, алгоритм нахождения собственных функций и собственных значений краевой задачи (5), (6) сводится к следующему.

1. Для заданных значений ε и n ищем действительные и положительные (для удовлетворения граничному условию при $r \rightarrow \infty$ необходимо, чтобы $\kappa > 0$) решения уравнения (8).

2. Подставляя найденные решения κ в уравнение (9), находим собственные значения α^2 .

3. Решая систему уравнений для c_i , $i = 1, 2, 3 \dots n$, находим ненормированное решение (7), которое удовлетворяет граничным условиям $\psi'(0) = 1$.

4. Далее мы будем изучать свойства нормированных решений. Для этого умножаем функцию ψ на константу A , которая находится из условия $A \sqrt{\int_0^\infty \psi^2 dr} = 1$. При этом граничное условие $\psi'(0) = 1$ переходит в $\psi'(0) = A$.

Действительные и положительные решения уравнения (8) существуют только при определенных ограничениях, накладываемых на параметр задачи ε . Так как не для любого ε уравнение (8) имеет действительные и положительные решения, сначала найдем ограничение на параметр ε . Для этого умножаем уравнение (8) на ε и записываем в виде

$$f(m, y) = \frac{Z\varepsilon}{n+1}, \quad (11)$$

где $y = \varepsilon\kappa$ и

$$f(m, y) = \frac{(-1)^{m-1}}{(2m-1)!} y^{2m-1} + \dots + \frac{1}{5!} y^5 - \frac{1}{3!} y^3 + y. \quad (12)$$

Исследуем решение (11) графически.

На рис. 1 представлены графики функции $f(m, y)$ для значений $m = 3, 4, 5, 6$.

Для заданных значений аргументов m, y из (11) находим значение ε ; например,

$$\varepsilon_1 = \frac{n+1}{Z} f_{\min}(m, y_{\min}), \quad \varepsilon_2 = \frac{n+1}{Z} f_{\max}(m, y_{\max}). \quad (13)$$

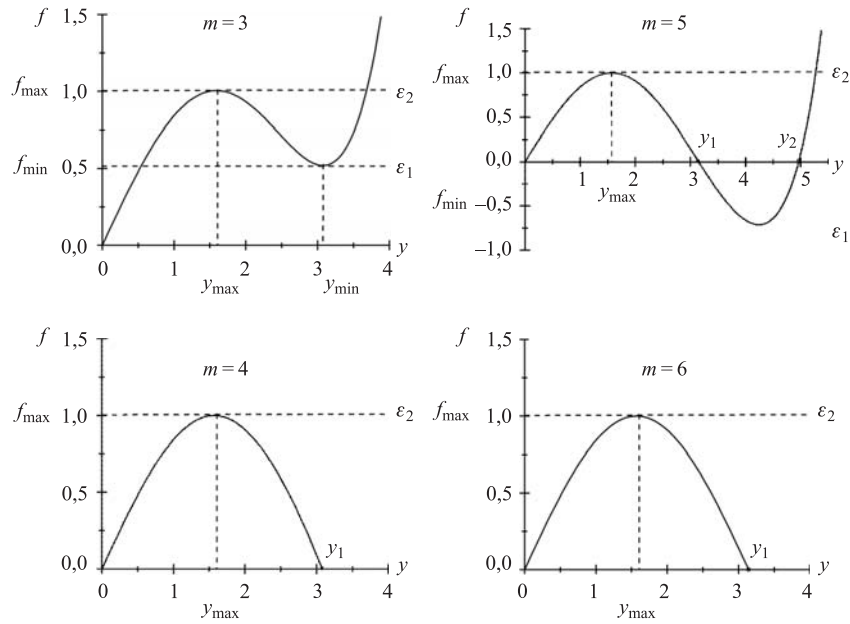


Рис. 1.

Из (13) следует, что ε_1 и ε_2 зависят от n , m , Z . Для кратности обозначения эти параметры явно в обозначениях ε_1 и ε_2 не указаны.

Из рис. 1 для случая $m = 3$ следует, что при $0 < \varepsilon < \varepsilon_1$ уравнение (8) имеет одно действительное и положительное решение, при $\varepsilon_1 < \varepsilon < \varepsilon_2$ — три таких решения и, наконец, при $\varepsilon_2 < \varepsilon < \infty$ — опять одно такое решение. Для случая $m = 5$ при $0 < y < y_1$ ($0 < \varepsilon < \varepsilon_2$) уравнение (8) имеет два действительных и положительных решения, а при $y_2 < y < \infty$ ($0 < \varepsilon < \infty$) имеет только одно такое решение. Для случая $m = 4$ и $m = 6$ для $0 < y < y_1$ ($0 < \varepsilon < \varepsilon_2$) уравнение (8) имеет два действительных и положительных решения.

Особо следует отметить, что для $m = 3, 4, 5, 6$, когда аргумент y функции $f(m, y)$ принимает разные значения в окрестностях $y = y_{\max} \pm 0$ и $y = y_{\min} \pm 0$, свойства решений задачи (5), (6) меняются, а именно для $m = 3$ это следующие интервалы: $0 < y < y_{\max}$ ($0 < \varepsilon < \varepsilon_2$), $y_{\max} < y < y_{\min}$ ($\varepsilon_1 < \varepsilon < \varepsilon_2$) и $y_{\min} < y < \infty$ ($\varepsilon_1 < \varepsilon < \infty$); для $m = 5$ — интервалы: $0 < y < y_{\max}$ ($0 < \varepsilon < \varepsilon_2$), $y_{\max} < y < y_1$ ($0 < \varepsilon < \varepsilon_2$) и $y_2 < y < \infty$ ($0 < \varepsilon < \infty$); а для $m = 4$ и $m = 6$ — только два интервала $0 < y < y_{\max}$ ($0 < \varepsilon < \varepsilon_2$) и $y_{\max} < y < y_1$ ($0 < \varepsilon < \varepsilon_2$). Отметим, что для $m > 6$ гра-

фики функции $f(m, y)$ сильно не усложняются, поэтому можно не проводить анализа типов решений вышеуказанным способом.

Далее, используя полученные ограничения на параметр ε для различных значений m ($m = 3, 4, 5, 6$), подробно рассмотрим следующие частные случаи ($n = 0$ — безузловое решение, $n = 1$ — решение с одним узлом) и продемонстрируем свойства полученных решений. Но сначала отметим очень важное свойство решений краевой задачи (5), (6). При $\varepsilon \rightarrow 0$ ($y \rightarrow 0$) для всех m ($m = 3, 4, 5, 6 \dots$) решения этой задачи практически совпадают с решением уравнения Шредингера. Действительно, при $\varepsilon \rightarrow 0$ ($y \rightarrow 0$), например, $m = 3$ имеем:

- для случая решений без узлов:

$$\kappa = 1,00000002, \quad \alpha^2 = 1,00000003, \quad A = 2,00000006 \quad \text{и}$$

- для случая решений с одним узлом:

$$\kappa = 0,500000002, \quad \alpha^2 = 0,250000001,$$

$$c_1 = 0,500000008, \quad A = 0,7071067794.$$

На рис. 2 приведены эти нормированные решения (слева) и решения уравнения Шредингера (справа) для сравнения.

Для других $m = 4, 5, 6$ эти решения также практически не отличаются от решения уравнения Шредингера. Поэтому здесь мы их не приводим.

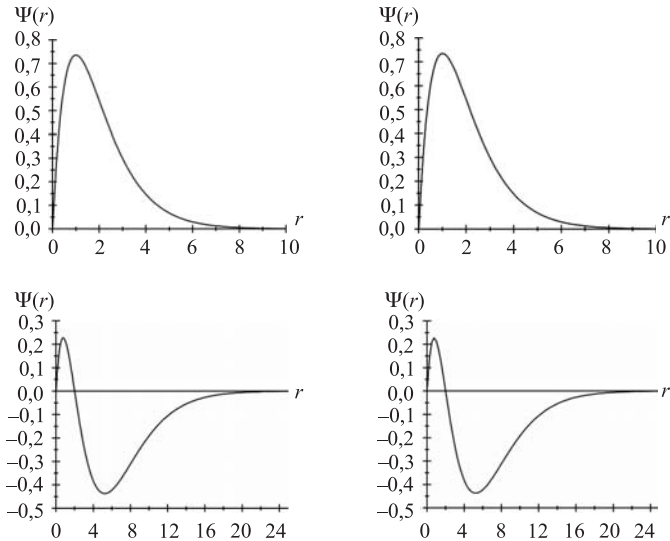


Рис. 2.

Безузловые решения. Решение ищем в виде $\psi(r) = r \exp(-\kappa r)$. Пусть $m = 3$. При малых ε решение краевой задачи мы представили на рис. 2. При непрерывном увеличении ε (также и при увеличении y) параметры задачи (κ, α^2, A) меняются не сильно, как следствие нормированные решения тоже не сильно отличаются от решений, приведенных на рис. 2. Однако при $\varepsilon \rightarrow \infty$ ($y \rightarrow \infty$) ситуация меняется. Например, при $\varepsilon = 10$ ($y = 4,985560235$) $\kappa = 0,4985560235$, $\alpha^2 = 0,1602764876$, $A = 0,7040458571$; при $\varepsilon = 100$ ($y = 7,126697625$) $\kappa = 0,07126697625$, $\alpha^2 = 0,01997607525$, $A = 0,03805068634$.

На рис. 3 приведены эти нормированные решения, где $r_{1\max} = 2,005792635$, $\psi_{1\max} = 0,5195083086$ и $r_{2\max} = 14,03174447$, $\psi_{2\max} = 0,1964172744$. Видно, что при $\varepsilon \rightarrow \infty$ ($r_{\max} \rightarrow \infty$) $\psi_{\max} \rightarrow 0$.

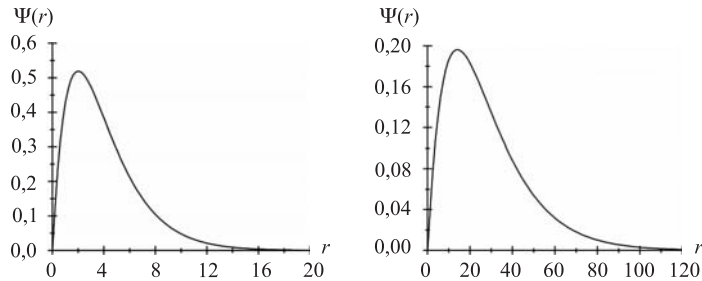


Рис. 3.

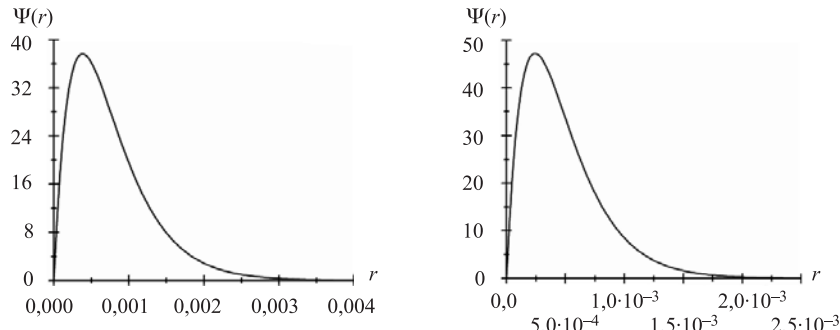


Рис. 4.

Пусть $m = 5$. Главное отличие от $m = 3$ в этом случае заключается в следующем. При $\varepsilon \rightarrow 0$, $y \rightarrow y_1 - 0$ и $y \rightarrow y_2 + 0$ краевая задача имеет решения с очень необычными свойствами, а именно решения отличны от нуля в начале координат (далее эти решения мы будем называть погранслойными

решениями). Действительно, при $\varepsilon = 10^{-4}$, $y = 2,622883287 < y_1$
 $\kappa_2 = 2622,883287$, $\alpha_2^2 = 2,780351305 \cdot 10^6$, $A_2 = 2,6865717541 \cdot 10^5$ и
при $\varepsilon = 10^{-4}$, $y = 4,136,388177 > y_2$
 $\kappa_3 = 4136,388177$, $\alpha_3^2 = 1,61266271 \cdot 10^6$, $A_3 = 5,320616144 \cdot 10^5$.

На рис. 4 приведены эти нормированные решения.

Анализ свойства решений краевой задачи (5), (6) при $m = 4$, $m = 6$ проводим аналогично, используя рис. 1. В обоих случаях, когда ε меняется в интервале $0 < \varepsilon < \varepsilon_2$, краевая задача имеет два решения, а при $\varepsilon \rightarrow 0$ и $y \rightarrow y_1 - 0$ появляются погранслойные решения такие же, как на рис. 4.

Теперь переходим к анализу свойств решений краевой задачи (5), (6) с одним узлом.

Решение с одним узлом. Решение ищем в виде $\psi(r) = r(1 - c_1 r) \times \exp(-\kappa r)$. Пусть $m = 3$. Как отмечалось выше, при $\varepsilon \rightarrow 0$ ($y \rightarrow 0$) решение практически не отличается от решения уравнения Шрёдингера (см. рис. 2).

Если параметр ε меняется в интервале $\varepsilon_1 < \varepsilon < \varepsilon_2$ ($0 < y < y_{\max}$ и $y_{\min} < y < \infty$), то задача имеет одноузловое решение (т. е. $c_1 > 0$). При $y_{\max} < y < y_{\min}$ решение превращается в безузловое (т. е. $c_1 < 0$). Чтобы это продемонстрировать, рассмотрим два варианта выбора ε .

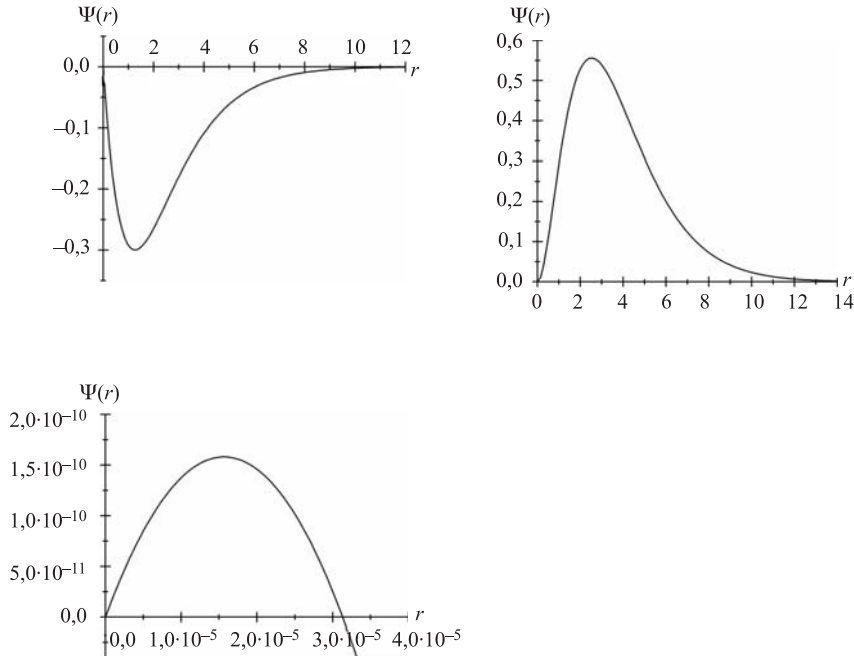


Рис. 5.

1. При $\varepsilon \rightarrow \varepsilon_2 - 0$ ($y \rightarrow y_{\max} - 0$ и $y \rightarrow y_{\max} + 0$), например, при $\varepsilon = 2,009481696$

$$\kappa = 0,7924597750, \quad \alpha^2 = 0,5065024284, \quad c_1 = 31950,31088,$$

$$A = 0,00002020424997;$$

$$\kappa = 0,7924767159, \quad \alpha^2 = 0,5065193692, \quad c_1 = -31950,92338,$$

$$A = 0,00002020444131.$$

На рис. 5 приведены эти нормированные решения. Главная особенность решения, показанного слева, заключается в том, что при $\varepsilon \rightarrow \varepsilon_2 - 0$, $y \rightarrow y_{\max} - 0$ параметр $c_1 \rightarrow \infty$. Как следствие, точка пересечения решения оси $r_1 = \frac{1}{c_1}$ стремится к нулю, а в безузловом решении, приведенном справа, при $\varepsilon \rightarrow \varepsilon_2 - 0$, $y \rightarrow y_{\max} + 0$ параметр $c_1 \rightarrow -\infty$. Поведение функции $\Psi(r)$ при $r \rightarrow 0$ показано на рис. 5 внизу.

2. При $\varepsilon \rightarrow \varepsilon_1 + 0$ ($y \rightarrow y_{\min} - 0$ и $y \rightarrow y_{\min} + 0$), например, при $\varepsilon = 1,040184269$

$$\kappa = 2,957514135, \quad \alpha^2 = 4,024721473, \quad c_1 = -15364,28725,$$

$$A = 0,001130400197;$$

$$\kappa = 2,957549364, \quad \alpha^2 = 4,024756701, \quad c_1 = 15364,05119,$$

$$A = 0,001130668856.$$

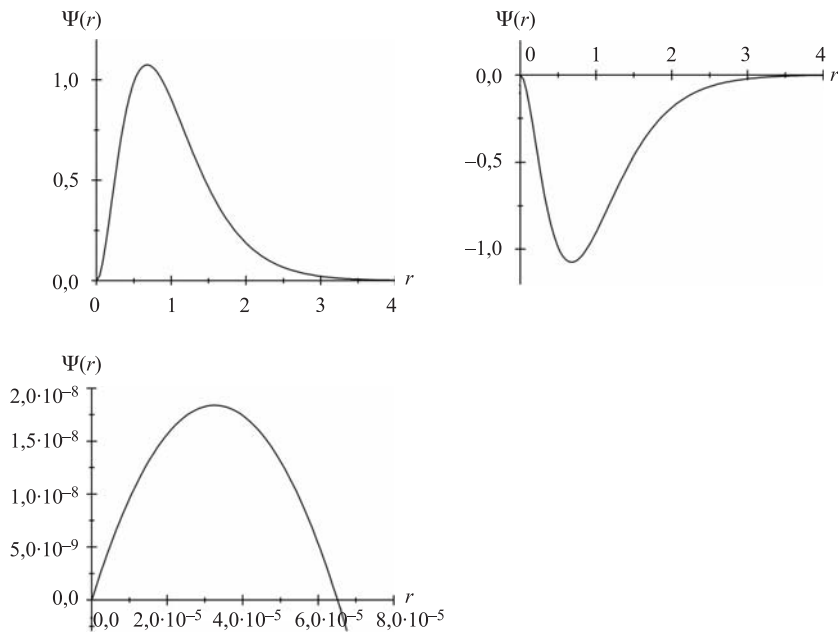


Рис. 6.

На рис. 6 приведены эти нормированные решения. Особенность решения, приведенного справа, заключается в том, что при $\varepsilon \rightarrow \varepsilon_1 + 0$ и $y \rightarrow y_{\min} + 0$ $r_1 = \frac{1}{c_1}$ стремится к нулю (рис. 6 внизу).

Теперь приведем решения при $\varepsilon \rightarrow \infty$ и $y \rightarrow \infty$. Например, при $\varepsilon = 10$ $\kappa = 0,4537980941$, $\alpha^2 = 0,0951207082$, $c_1 = 0,05971231826$, $A = 0,7541847999$; $r_{1\max} = 1,918516605$, $\psi_{1\max} = 0,5364111838$; при $\varepsilon = 100$ $\kappa = 0,06355898824$, $\alpha^2 = 0,008753122606$, $c_1 = 0,01024603673$, $A = 0,04156960011$; $r_{2\max} = 13,25980129$, $\psi_{2\max} = 0,2050606146$.

Нормированные решения приведены ниже на рис. 7. При $\varepsilon \rightarrow 0$ из рисунка видно, что c_1 также стремится к нулю и, как следствие, точка пересечения решения оси $r_1 = \frac{1}{c_1}$ стремится к бесконечности.

Пусть $m = 5$. Главное отличие при анализе свойства решений от $m = 3$ заключается в появлении погранслойных решений при $\varepsilon \rightarrow 0$ $y \rightarrow y_1 - 0$ (безузловое), $y \rightarrow y_2 + 0$ (одноузловое).

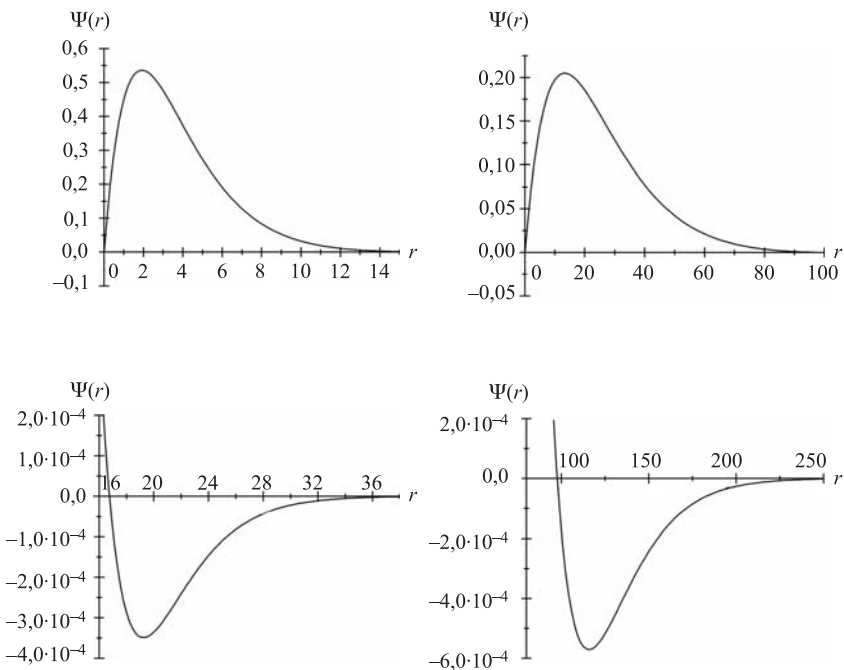


Рис. 7.

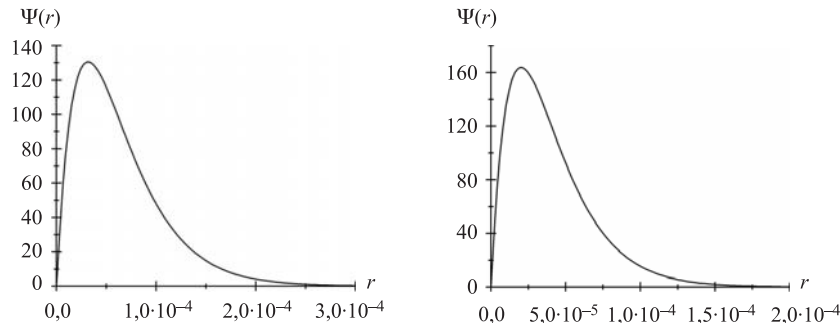


Рис. 8.

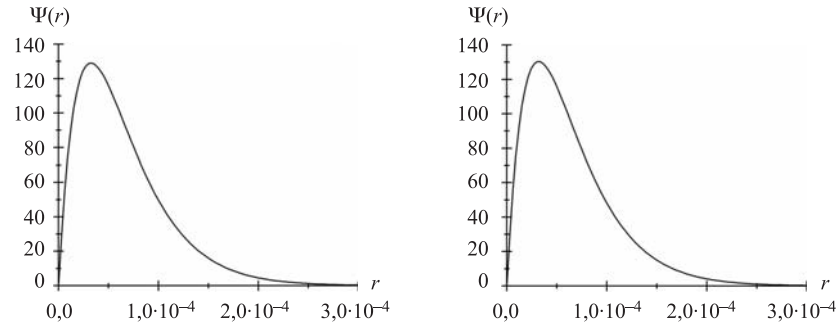


Рис. 9.

Например, при $\varepsilon = 10^{-4}$

$$\begin{aligned} \kappa_2 &= 31486,38813, & \kappa_3 &= 49631,74251, \\ \alpha_2^2 &= 4,003707352 \cdot 10^8, & \alpha_3^2 &= 2,32223371 \cdot 10^8, \\ c_1 &= -0,5125775800, & c_1 &= 0,2138339808, \\ A_2 &= 1,117387111 \cdot 10^7. & A_3 &= 2,211424348 \cdot 10^7. \end{aligned}$$

На рис. 8 приведены эти нормированные решения. Справа приведено решение с одним узлом. Точка пересечения решения оси $r_1 = \frac{1}{c_1} \approx 5$. Так как это решение быстро затухающее ($e^{-\kappa_3 r_1}$), на рисунке не видно этот узел.

При $\varepsilon_2 < \varepsilon < \infty$ и $y_2 < y \rightarrow \infty$ решение ведет себя так же, как и для $m = 3$.

Переходим к анализу свойств решений при $m = 4$ и 6 .

При $0 < \varepsilon < \varepsilon_2$ в интервале $0 < y < y_{\max}$ существует одноузловое решение, а в интервале $y_{\max} < y < y_1$ — безузловое. Главная особенность в этом

случае состоит в том, что при $\varepsilon \rightarrow 0$ и $y \rightarrow y_1 - 0$ задача имеет погранслойные решения. Например, при $\varepsilon = 10^{-4}$

$$\begin{array}{ll} m = 4 & m = 6 \\ \kappa_2 = 30785,99878, & \kappa_2 = 31410,98396, \\ \alpha_2^2 = 3,956757913 \cdot 10^8, & \alpha_2^2 = 3,999799254 \cdot 10^8, \\ c_1 = -0,4242660305, & c_1 = -0,4990888826, \\ A_2 = 1,080316203 \cdot 10^7. & A_2 = 1,113376259 \cdot 10^7. \end{array}$$

На рис. 9 приведены эти нормированные решения.

ЗАКЛЮЧЕНИЕ

В работе предложен алгоритм изучения свойств решений краевых задач для уравнений высокого порядка, содержащих произвольный параметр ε при старших производных. Алгоритм реализован с использованием системы символьных вычислений MAPLE. Установлено, что при $\varepsilon \rightarrow 0$ некоторые решения совпадают с решением нерелятивистского уравнения Шрёдингера. Кроме этого, обнаружены так называемые погранслойные решения: переход одного типа решения (например, решение с одним узлом) в другой (решение без узлов). Эти решения требуют глубокого анализа и дальнейшего физического осмысливания (физической интерпретации), так как релятивистские поправки собственных значений $\Delta = |\lambda_{n,2m} - \lambda_{n,2}|$ становятся большими.

Работа выполнена при финансовой поддержке грантов РФФИ №07-01-00738-а, 08-01-00800-а.

ЛИТЕРАТУРА

1. Быков А. А., Дремин И. М., Леонидов А. В. // УФН. 1984. Т. 143. С. 3.
2. Logunov A. A., Tavkhelidze A. N. // Nuovo Cimento. 1963. V. 29. P. 380.
3. Kadyshevsky V. G., Mir-Kasimov R. M., Skachkov N. B. // Nuovo Cimento. A. 1968. V. 55. P. 233.
4. Кафышевский В. Г., Мир-Касимов Р. М., Скачков Н. Б. // ЭЧАЯ. 1972. Т. 2, №3. С. 637.
5. Gross F. // Phys. Rev. B. 1968. V. 6. P. 125.
6. Thompson R. H. // Phys. Rev. D. 1970. V. 1. P. 110.
7. Амирханов И. В., Жидков Е. П., Коннова С. В. Препринт ОИЯИ Р5-99-15. Дубна, 1999;
Amirkhanov I. V., Zhidkov E. P., Konnova S. V. // Computer Physics Communications. 2000. V. 126. P. 12–15.
8. Амирханов И. В., Жидков Е. П., Коннова С. В. Сообщение ОИЯИ Р11-2000-154. Дубна, 2000.

9. Амирханов И. В., Васильев С. А., Жидков Е. П., Жидкова И. Е. // Дифференциальные уравнения. 2000. Т. 37, № 1. С. 83–90.
10. Амирханов И. В., Васильев С. А., Жидков Е. П., Жидкова И. Е. // Математическое моделирование. 2003. Т. 15, № 9. С. 3–16.
11. Амирханов И. В. и др. Сообщение ОИЯИ Р11-2004-147. Дубна, 2004. 22 с.
12. Амирханов И. В., Жидков Е. П., Музагаров Д. З., Саркар Н. Р., Сархадов И., Шарипов З. А. // Математическое моделирование. 2007. Т. 19, № 11. С. 65–79.
13. Амирханов И. В., Музагаров Д. З., Саркар Н. Р., Сархадов И., Шарипов З. А. Сообщение ОИЯИ Р11-2007-148. Дубна, 2007. 16 с.
14. Амирханов И. В., Музагаров Д. З., Саркар Н. Р., Сархадов И., Шарипов З. А. Препринт ОИЯИ Р11-2008-103. Дубна, 2008. 18 с.
15. Жидков Е. П., Кадышевский В. Г., Катышев Ю. В. // ТМФ. 1970. Т. 3, № 2 С. 191.
16. Тихонов А. Н. // Математический сборник. 1948. Т. 22(64), № 2. С. 193–204.
17. Тихонов А. Н. // Математический сборник. 1950. Т. 27(69), № 1. С. 147–156.
18. Вишик М. И., Люстерник Л. А. // УМН. 1957. Т. 12, вып. 5(77). С. 3–122.
19. Васильева А. Б., Бутузов В. Ф. Асимптотические методы в теории сингулярных возмущений. М.: Высш. шк., 1990. 208 с.

Получено 12 октября 2009 г.

Редактор *A. И. Петровская*

Подписано в печать 25.12.2009.

Формат 60 × 90/16. Бумага офсетная. Печать офсетная.
Усл. печ. л. 1,0. Уч.-изд. л. 1,15. Тираж 310 экз. Заказ № 56846.

Издательский отдел Объединенного института ядерных исследований
141980, г. Дубна, Московская обл., ул. Жолио-Кюри, 6.

E-mail: publish@jinr.ru
www.jinr.ru/publish/